

<https://doi.org/10.46861/bmp.28.347>

PŮVODNÍ PRÁCE/ORIGINAL PAPER

# Minerály skupiny columbitu a mikrolitu v granitovom pegmatite pri Liešťanoch: prvý výskyt vzácnoprvkovej Nb-Ta mineralizácie v Strážovských vrchoch (Slovenská republika)

**Minerals of columbite and microlite groups in granitic pegmatite near Liešťany: the first occurrence of rare-element Nb-Ta mineralization in the Strážovské vrchy Mts. (Slovak Republic)**

PAVEL UHER<sup>1)\*</sup>, MARTIN ŠTEVKO<sup>2,3)</sup> A SERGII KURYLO<sup>4)</sup>

<sup>1)</sup>Katedra mineralogie a petrologie, Prírodovedecká fakulta, Univerzita Komenského, Ilkovičova 6, 842 15 Bratislava, Slovenská republika; \*e-mail: pavel.uher@uniba.sk

<sup>2)</sup>Ústav vied o Zemi, Slovenská akadémia vied, Dúbravská cesta 9, 840 05 Bratislava, Slovenská republika

<sup>3)</sup>Mineralogicko-petrologické oddelení, Národní muzeum, Cirkusová 1740, 193 00 Praha 9 - Horní Počernice, Česká republika

<sup>4)</sup>Ústav vied o Zemi, Slovenská akadémia vied, pracovisko Banská Bystrica, Ďumbierska 1, 974 01 Banská Bystrica, Slovenská republika

UHER P, ŠTEVKO M, KURYLO S (2020) Minerály skupiny columbitu a mikrolitu v granitovom pegmatite pri Liešťanoch: prvý výskyt vzácnoprvkovej Nb-Ta mineralizácie v Strážovských vrchoch (Slovenská republika). Bull Mineral Petrolog 28(2): 347-352. ISSN 2570-7337

## Abstract

Accessory minerals of columbite and microlite groups were identified in granitic pegmatite dike intruded into parental Carboniferous (~350 Ma) leucogranites of the crystalline basement of the Tatic Unit, Central Western Carpathians. The pegmatite is situated on E slope of Bystrý Hill near Liešťany village, the Strážovské vrchy Mts., Slovakia. Primary columbite-(Fe) forms euhedral crystal (~3 mm across) with diffuse internal zoning reflecting a relatively small compositional variations: Mn/(Mn + Fe) = 0.40 - 0.45 and Ta/(Ta + Nb) = 0.21 - 0.24. Secondary anhedral domains of Ta-rich columbite-(Fe) to tantalite-(Fe) ( $\leq$ 200  $\mu$ m) with Mn/(Mn + Fe) = 0.45 - 0.47 and Ta/(Ta + Nb) = 0.45 - 0.62 partly replace primary columbite-(Fe) along crystal rims. Moreover, secondary subhedral crystals of microlite-group minerals ( $\leq$ 25  $\mu$ m) form fracture fillings in columbite-(Fe). The microlites show uniform high Ta/(Ta + Nb) ratio (0.77 - 0.80) and U content (7.7 - 10.2 wt.%  $UO_2$ ; 0.18 - 0.21 U apfu) but different contents of F, Ca, Na and Pb: central parts locally show fluorcalciomicrolite composition (~2 wt.% F, ~9.5 wt.% CaO, 2.2 - 2.7 wt.%  $Na_2O$ ), whereas main microlite mass forms zero-valent-dominant microlite with inclusions ( $\leq$ 8  $\mu$ m) of Pb-rich zero-valent-dominant microlite (16.8 - 19.7 wt.% PbO; 0.46 - 0.56 Pb apfu). Textural relationships and chemical compositions of Nb-Ta minerals indicate primary magmatic origin of columbite-(Fe) and post-magmatic (early subsolidus to late hydrothermal) formation of secondary Ta-rich columbite-(Fe) to tantalite-(Fe) and microlite-group minerals.

**Key words:** columbite-(Fe), Pb-U rich microlite, Nb-Ta oxide minerals, granitic pegmatite, Liešťany, Strážovské vrchy Mts., Western Carpathians, Slovak Republic

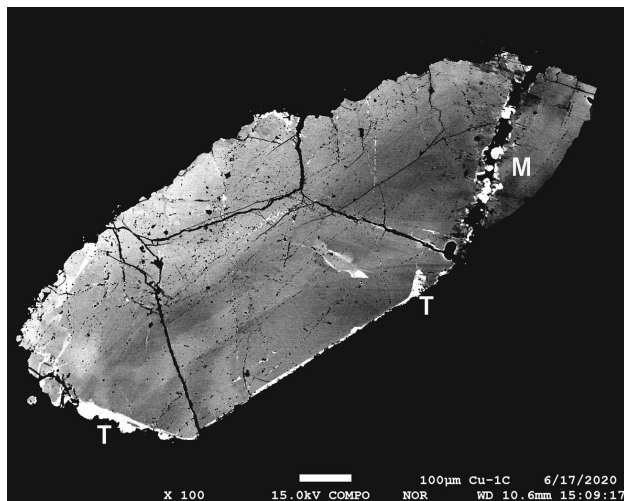
Obdrženo 6. 10. 2020; přijato 18. 11. 2020

## Úvod

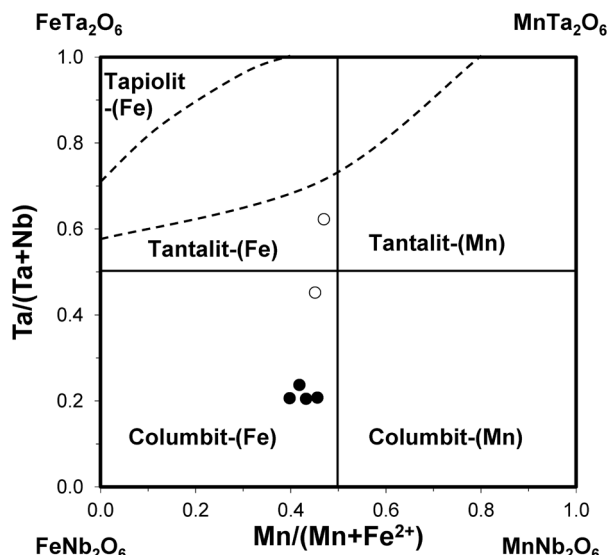
Oxidické minerály Nb a Ta patria medzi charakteristické akcesorické fázy vysoko frakcionovaných granitových pegmatitov, ktoré sú klasifikované v rámci muskovitovo-vzácnoprvkovej, vzácnoprvkovej a miarolitickej triedy (Černý, Ercit 2005). Vnútorná zonalita a textúra, ako aj variácie chemického zloženia minerálov Nb-Ta (hlavne skupina columbitu, tapiolitu, wodginitu, superskupina pyrochlóru, REE-Ti-Nb-Ta oxidy), najmä pomer Ta/(Ta+Nb) a Mn/(Mn+Mg), ako aj obsahy Mg, Ca, REE, Ti, Sn, W, U, Na, Li, F atď. sú významnými genetickými indikátormi stupňa geochemickej frakcionácie a magmatickej až hydrottermálnej evolúcie, prípadne neskoršej metamorfnej

transformácie granitových pegmatitov (napr. Černý et al. 1986, 1992; Novák et al. 2003; Škoda, Novák 2007; van Lichtervelde et al. 2007; Rao et al. 2009; Chudík et al. 2011; Melcher et al. 2015; Galliski et al. 2016).

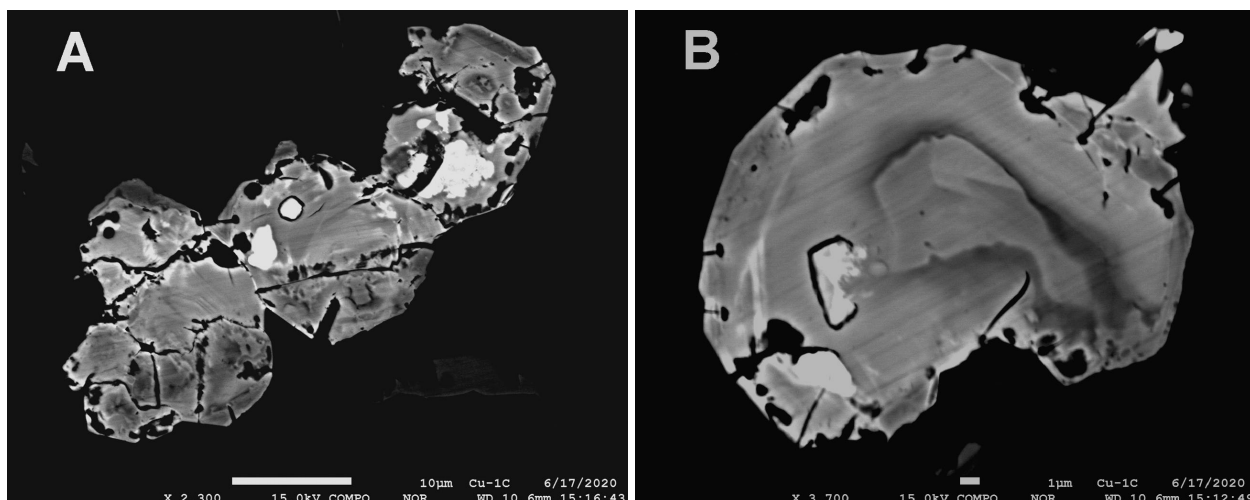
Na území Slovenska, respektívne Západných Karpat, boli granitové pegmatity so vzácnoprvkovou Be-Nb-Ta mineralizáciou identifikované pomerne nedávno, od 80. rokov 20. storočia. V týchto vyššie frakcionovaných pegmatitoch vystupujú akcesorické oxidické minerály Nb-Ta, najmä zo skupiny columbitu, superskupiny pyrochlóru a Nb-Ta rutil, ojedinele členy skupiny wodginitu, feratapiolit, fersmit, stibiotantalit, Nb-Ta armalcolit až pseudobrookit (napr. Uher 2000, 2008, 2019; Uher et al. 1994, 1998a, b, 2007; Uher, Broska 1995; Novák et al. 2000;



Obr. 1 Nevýrazne difúzne zónalny kryštál columbitu-(Fe), po okrajoch zatláčaný Ta-obohatený columbitom-(Fe) až tantalitom-(Fe) (T) a minerálmi skupiny mikrolitu po trhline (M). Pegmatit pri Liešťanoch. BSE foto S. Kurylo.



Obr. 2 Štvorcový diagram chemického zloženia columbitu-(Fe) (•) a Ta-obohateného columbitu-(Fe) až tantalitu-(Fe)(○) z pegmatitu pri Liešťanoch (atómové množstvá).



Obr. 3A-B Minerály skupiny mikrolitu z pegmatitu pri Liešťanoch: fluórikalciomikrolit (centrálna časť kryštálu - A), mikrolit s deficitom A-katiónov (centrálne až okrajové časti kryštálov - A-B) a Pb-obohatený mikrolit s deficitom A-katiónov (biele inkluzie - A-B). BSE foto S. Kurylo.

Chudík, Uher 2009; Chudík et al. 2011). Uvedené granitové pegmatity s prítomnosťou minerálov Nb-Ta sa vyskytujú v podobe zonálnych žíl (výplní puklín) až šošovkovitých telies v materských variských (karbónskych) granitických horninách alebo v bezprostredne susediacich paleozoických metamorfovaných horninách (najmä pararulách) v rámci kryštalinika tektonickej jednotky tatrika. Doteraz boli zaznamenané v Malých Karpatoch, Považskom Inovci, Žiari a Nízkych Tatrách (Uher 2019).

Nás príspevok charakterizuje nový nález Nb-Ta minerálov v granitovom pegmatite pri Liešťanoch, ktorý predstavuje prvý zistený výskyt tohto typu vzácnejšej mineralizácie v regióne Strážovských vrchov a súčasne dopĺňa nás obraz o regionálnom rozšírení tejto mineralizácie v rámci variských pegmatitov tatrika Západných Karpát. Okrem dominantného columbitu-(Fe) sme identifikovali aj mladší asociáciu s tantalitom-(Fe) a minerálmi skupiny mikrolitu, vrátane vzácnych členov obohatených olovmom.

#### Lokalizácia a geologická charakteristika pegmatitu

Študovaný granitový pegmatit sa nachádza v južnej časti Strážovských vrchov, na východnom svahu kóty Bystrý vrch (792.3 m n. m.), približne 3.5 km sz. od obce Liešťany, respektívne jej miestnej časti Lomnica a približne 15 km sz. od okresného mesta Prievidza (Trenčiansky kraj) na západnom Slovensku. GPS koordináty výskytu študovaného pegmatitu sú 48.854565° N a 18.449947° E, nadmorská výška je 632 m.

Okolie výskytu pegmatitu patrí do kryštalinického masívu Suchého, je budované leukokrátnymi peraluminóznymi, biotiticko-muskovitickými granitmi s granátom (almandínom) a sillimanitom, ktoré majú geochemickú afinitu ku granitom S-typu (Hovorka, Fejdi 1983; Mahel' 1985; Vilinovičová 1990; Petrík, Kohút 1997). Granite často plynule prechádzajú do apliticko-pegmatických leukogranitov, v širšom okolí výskytu boli zaznamenané aj paleozoické metamorfované horniny, najmä biotitické pararuly, ktoré sú lokálne migmatitizované, s prechodom do anatektických granitických hornín (Kahan in Mahel' et al. 1981; Mahel' 1985). Relatívne časté sú výskyty žíl až šošoviek granitových pegmatitov, ktoré intrudujú do pararúl až migmatitov až granitov (Dávidová 1978; Mahel' 1985). Granitické horniny Strážovských vrchov intrudovali počas

variského orogénu; datovanie zirkónu na základe izotopov olova ( $^{207}\text{Pb}/^{206}\text{Pb}$ ) poskytlo spodnokarbónsky vek  $356 \pm 9$  Ma (lokalita Chvojnica - Kamenistá dolina; Kráľ et al. 1997).

Fragmenty granitových pegmatitov veľkosti do  $20 \times 10$  cm sa na študovanej lokalite sporadicky vyskytuju v sutiach na ploche cca  $250 \times 200$  m. Na základe štúdia viacerých úlomkov je možné konštatovať, že sa pravdepodobne jedná o niekoľko samostatných pegmatitových žíl s mocnosťou do 20 cm a pomerne nevýraznou zonálnosťou. Prevláda hrubozrnná kremeňovo-mikroklinovo-muskovitová zóna s lokálnym výskytom blokového mikroklinu a len s minoritným zastúpením masívneho kremeňa v centrálnej časti žíl (kremenné jadro). Ojedinele boli nájdené aj fragmenty jemnozrnného cukrovitého albitu s granátom. Makroskopické Nb-Ta minerály boli pozorované len v jednom prípade vo fragmente hrubozrnného pegmatitu s rozmermi 12 × 8 cm.

## Metodika

Leštený nábrus s Nb-Ta minerálmi bol študovaný pomocou elektrónového mikroanalyzátora JEOL JXA-8530FE (Ústav vied o Zemi SAV, pracovisko Banská Bystrica) vo vlnovo-disperznom móde (WDS). Analytické podmienky merania Nb-Ta minerálov boli nasledovné: urýchľovacie napätie 15 kV, vzorkový prúd 20 nA, čas načítania na píku 20 s (30 s pre Th, U a Pb) a 10 s na pozadí. Priemer elektrónového lúča dosahoval 1 až 3  $\mu\text{m}$ . Použité štandardy, rtg. línie a spodné detekčné limity ( $3\sigma$ , v ppm) boli nasledovné: scheelit (W La, 640),  $\text{LiNbO}_3$  (Nb La, 380),  $\text{CrTa}_2\text{O}_6$  (Ta Ma, 500), rutil (Ti Ka, 490),  $\text{ZrO}_2$  (Zr La, 230), kasiterit (Sn La, 160),  $\text{ThO}_2$  (Th Ma, 180),  $\text{UO}_2$  (U M $\beta$ , 270),  $\text{ScVO}_4$  (Sc Ka, 150),  $\text{YPO}_4$  (Y La, 270),  $\text{CePO}_4$  (Ce La, 920), antimonit (Sb La, 190), BiTe (Bi La, 650), hematit (Fe Ka, 350), rodonit (Mn Ka, 370), willemit (Zn Ka, 770), diopsid (Mg Ka, 100; Ca Ka, 80), krokoit ( $\text{Pb M}\beta$ , 340), albit (Na Ka, 120) a fluorit (F Ka, 300). Na výpočet koncentrácií prvkov bola použitá korekčná metóda ZAF (Bence, Albee 1968). Na uvedenom prístroji boli urobené snímky minerálov v spätnie rozptýlených elektrónoch (BSE).

## Výsledky

Študovaná vzorka je tvorená prizmatickým tabuľkovitým kryštálom columbitu-tantalitu čiernej farby s kovovým leskom o veľkosti cca 3 mm, ktorý je zarastený v hrubozrnnom agregáte K-živca, kremeňa a muskovitu. Columbit-tantalit vyzkazuje v BSE nevýraznú, nepravidelnú difúznu vnútornú zonalitu (obr. 1) s relatívne malými variáciami obsahov hlavných a stopových prvkov (tab. 1, anal. 1

- 4); jedná sa o columbit-(Fe) s atómovým pomerom Mn/(Mn + Fe) = 0.40 - 0.46, Ta/(Ta + Nb) = 0.21 - 0.24 (obr. 2), 0.2 - 0.3 hm. %  $\text{TiO}_2$  (0.010 - 0.015 Ti apfu), obsahy ostatných meraných prvkov sú veľmi nízke (pod 0.005 apfu). Uvedená hlavná masa tohto primárneho columbitu-(Fe) je po okraji kryštálu zatláčaná nepravidelnými doménami (~20 - 100  $\mu\text{m}$ ), svetlejšími v BSE (obr. 1), ktoré na základe chemického zloženia možno klasifikovať ako Ta-o-bohatený columbit-(Fe) až tantalit-(Fe) s Mn/(Mn + Fe) = 0.45 - 0.47 a Ta/(Ta + Nb) = 0.45 - 0.62 (obr. 2), pričom obsahy Ti a ostatných meraných prvkov sú podobné ako v prípade primárneho columbitu-(Fe) (tab. 1, anal. 5 - 6).

**Tabuľka 1** Chemické zloženie primárneho columbitu-(Fe) (anal. 1 - 4) a sekundárneho columbitu-(Fe) až tantalitu-(Fe) (anal. 5 - 6) z pegmatitu Liešťany, Bystrý vrch (hm. %).

Minerál	Col-(Fe) Anal.	Col-(Fe) 1	Col-(Fe) 2	Col-(Fe) 3	Col-(Fe) 4	Col-(Fe) 5	Tan-(Fe) 6
$\text{WO}_3$		0.22	0.18	0.10	0.24	0.00	0.38
$\text{Nb}_2\text{O}_5$		55.35	55.45	52.66	54.93	34.10	21.77
$\text{Ta}_2\text{O}_5$		23.71	23.97	27.20	23.98	46.84	59.84
$\text{TiO}_2$		0.31	0.26	0.29	0.21	0.32	0.21
$\text{ZrO}_2$		0.10	0.03	0.06	0.09	0.04	0.00
$\text{SnO}_2$		0.07	0.11	0.10	0.12	0.00	0.04
$\text{UO}_2$		0.04	0.00	0.00	0.00	0.00	0.07
$\text{Sc}_2\text{O}_3$		0.00	0.00	0.04	0.00	0.04	0.05
$\text{Ce}_2\text{O}_3$		0.00	0.10	0.00	0.12	0.00	0.29
$\text{Bi}_2\text{O}_3$		0.19	0.00	0.14	0.00	0.25	0.00
$\text{Fe}_2\text{O}_3$		1.54	0.83	0.98	2.53	2.45	2.40
FeO		10.30	11.10	10.59	9.56	8.54	7.72
MnO		7.74	7.24	7.51	7.91	6.92	6.75
ZnO		0.03	0.13	0.00	0.09	0.00	0.00
MgO		0.00	0.00	0.00	0.00	0.07	0.00
Suma		99.59	99.39	99.67	99.77	99.57	99.51
W		0.004	0.003	0.002	0.004	0.000	0.007
Nb		1.556	1.565	1.502	1.540	1.064	0.729
Ta		0.401	0.407	0.467	0.404	0.879	1.204
Ti		0.015	0.012	0.014	0.010	0.017	0.012
Zr		0.003	0.001	0.002	0.003	0.001	0.000
Sn		0.002	0.003	0.002	0.003	0.000	0.001
$\text{Fe}^{3+} B$		0.019	0.009	0.011	0.036	0.039	0.047
Suma B		2.000	2.000	2.000	2.000	2.000	2.000
U		0.001	0.000	0.000	0.000	0.000	0.001
Sc		0.000	0.000	0.002	0.000	0.002	0.003
Ce		0.000	0.002	0.000	0.003	0.000	0.008
Bi		0.003	0.000	0.002	0.000	0.004	0.000
$\text{Fe}^{3+}$		0.053	0.030	0.036	0.082	0.088	0.086
$\text{Fe}^{2+}$		0.536	0.580	0.559	0.496	0.493	0.478
Mn		0.408	0.383	0.402	0.416	0.405	0.423
Zn		0.001	0.006	0.000	0.004	0.000	0.000
Mg		0.000	0.000	0.000	0.000	0.007	0.000
Suma A		1.002	1.001	1.001	1.001	0.999	0.999
O		6.000	6.000	6.000	6.000	6.000	6.000
$\text{Mn}/(\text{Mn}+\text{Fe}^{2+})$		0.432	0.398	0.418	0.456	0.451	0.469
$\text{Ta}/(\text{Ta}+\text{Nb})$		0.205	0.206	0.237	0.208	0.452	0.623

Empirické vzorce boli vypočítané na základe O = 6 atómov, A+B = 3 atómy a valenčného prepočtu  $\text{Fe}^{3+}$  a  $\text{Fe}^{2+}$ . Obsahy Th, Sb, Y, Ca, Pb a Na boli pod spodným detekčným limitom elektrónového mikroanalyzátora.

**Tabuľka 2** Chemické zloženie fluórkalciomikrolitu (anal. 1 - 2) a mikrolitu s deficitom A-katiónov (anal. 3 - 7; Pb-obohatený anal. 6 - 7) z pegmatitu Liešťany, Bystrý vrch (hm. %).

Minerál	Fluórkalciomikrolit							Mikrolit s deficitom A-katiónov								
	Anal.	1	2	3	4	5	6	7	Anal.	1	2	3	4	5	6	7
WO <sub>3</sub>		0.55	0.59	0.14	0.29	0.26	0.33	0.38								
Nb <sub>2</sub> O <sub>5</sub>		9.71	10.12	9.45	9.59	9.95	9.28	9.05								
Ta <sub>2</sub> O <sub>5</sub>		62.68	61.70	59.12	62.76	62.58	54.46	51.70								
TiO <sub>2</sub>		0.93	1.08	1.13	0.95	0.92	1.02	0.76								
ZrO <sub>2</sub>		0.00	0.03	0.00	0.06	0.00	0.00	0.00								
UO <sub>2</sub>		10.24	10.25	10.22	9.96	9.37	8.46	7.66								
Sc <sub>2</sub> O <sub>3</sub>		0.06	0.04	0.05	0.00	0.08	0.00	0.00								
Ce <sub>2</sub> O <sub>3</sub>		0.16	0.34	0.00	0.34	0.38	0.34	0.36								
Sb <sub>2</sub> O <sub>3</sub>		0.24	0.15	0.18	0.26	0.23	0.24	0.11								
Bi <sub>2</sub> O <sub>3</sub>		0.00	0.00	0.10	0.21	0.00	0.00	0.09								
FeO		0.42	0.38	0.68	0.81	0.61	1.08	1.69								
MnO		0.20	0.19	0.44	0.34	0.30	0.56	0.29								
CaO		9.45	9.55	1.93	1.42	2.82	0.43	0.64								
SnO		0.85	0.90	0.65	0.78	0.81	0.70	0.84								
PbO		0.13	0.11	2.37	2.92	3.56	16.77	19.71								
Na <sub>2</sub> O		2.25	2.70	0.00	0.00	0.04	0.19	0.11								
F		1.92	2.00	0.24	0.32	0.28	0.24	0.18								
O=F		-0.81	-0.84	-0.10	-0.13	-0.12	-0.10	-0.08								
Suma		98.98	99.28	86.58	90.88	92.07	93.99	93.50								
W		0.013	0.014	0.003	0.007	0.006	0.009	0.010								
Nb		0.394	0.410	0.402	0.390	0.404	0.423	0.435								
Ta		1.530	1.503	1.514	1.536	1.528	1.492	1.494								
Ti		0.063	0.073	0.080	0.064	0.062	0.077	0.061								
Zr		0.000	0.001	0.000	0.003	0.000	0.000	0.000								
Suma B		2.000	2.001	1.999	2.000	2.000	2.001	2.000								
U		0.205	0.204	0.214	0.199	0.187	0.190	0.181								
Sc		0.005	0.003	0.004	0.000	0.006	0.000	0.000								
Ce		0.005	0.011	0.000	0.011	0.012	0.013	0.014								
Sb		0.009	0.006	0.007	0.010	0.009	0.010	0.005								
Bi		0.000	0.000	0.002	0.005	0.000	0.000	0.002								
Fe		0.032	0.028	0.054	0.061	0.046	0.091	0.150								
Mn		0.015	0.014	0.035	0.026	0.023	0.048	0.026								
Ca		0.909	0.916	0.195	0.137	0.271	0.046	0.073								
Sn		0.034	0.036	0.027	0.031	0.032	0.031	0.040								
Pb		0.003	0.003	0.060	0.071	0.086	0.455	0.564								
Na		0.392	0.469	0.000	0.000	0.007	0.037	0.023								
Suma A		1.609	1.690	0.598	0.551	0.679	0.921	1.078								
Vakancia A		0.391	0.310	1.402	1.449	1.321	1.079	0.922								
F		0.545	0.566	0.071	0.091	0.080	0.076	0.060								
O		6.329	6.357	5.745	5.688	5.809	6.030	6.203								
Suma an.		6.874	6.923	5.816	5.779	5.889	6.106	6.263								
Ta/(Ta+Nb)		0.795	0.786	0.790	0.798	0.791	0.779	0.774								
Mn/(Mn+Fe)		0.319	0.333	0.393	0.299	0.333	0.345	0.148								

Empirické vzorce boli vypočítané na základe sumy  $B = 2$  atómy. Obsahy Th, Y, V, Zn a Mg boli pod spodným detekčným limitom elektrónového mikroanalyzátora.

Kryštál primárneho columbitu-(Fe) je pretínaný cca 35  $\mu\text{m}$  hrubou puklinou, čiastočne vyplnenou minerálmi skupiny mikrolitu (obr. 1 a 3). Minerály skupiny mikrolitu tvoria hypidiomorfne až xenomorfne jedince s veľkosťou 15 - 25  $\mu\text{m}$ , s náznakmi kryštálových plôch (obr. 3). Hlavnú hmotu minerálov skupiny mikrolitu tvorí **fluórkalciomikrolit** (centrálné zóny) až **mikrolit s deficitom A-katiónov** (centrálne až okrajové zóny) s jemnou koncentrickou až oscilačnou rastovou zonalitou, s nepravidelnými cca 1 - 8  $\mu\text{m}$  inkluziami fáz, ktoré možno klasifikovať ako **Pb-obohatený mikrolit s deficitom A-katiónov** (obr. 3A-B). Kým fluórkalciomikrolit sa vyznačuje vysokými obsahmi Ca (~0.9 apfu), Na (~0.4 apfu), F (~0.6 apfu) a nízkymi obsahmi Pb (~0.003 apfu) a nižším deficitom katiónov v pozícii A (0.3 - 0.4 apfu), oba typy mikrolitov s deficitom A-katiónov majú podstatne nižšie obsahy Ca (0.05 - 0.3 apfu), Na ( $\leq$  0.04 apfu) a F (0.2 - 0.3 apfu), avšak vykazujú zvýšené obsahy Pb ( $\leq$  0.56 apfu,  $\leq$  19.7 hm. % PbO v Pb-obohatenej fáze); obsahy U dosahujú 0.18 - 0.21 apfu (~8 - 10 hm. % UO<sub>2</sub>) vo všetkých troch mikrolitových fázach (tab. 2). Ukazuje sa tak výrazná negatívna korelácia, respektíve antagonizmus medzi obsahmi Ca a Pb (obr. 4), respektíve medzi Ca, Na a F na jednej strane a Pb a deficitom katiónov v pozícii A na strane druhej, čo naznačuje možnú substitúciu typu <sup>A</sup>(vakancia, H<sub>2</sub>O) + <sup>A</sup>Pb<sup>2+</sup> + <sup>Y</sup>(vakancia, H<sub>2</sub>O) = <sup>A</sup>Ca<sup>2+</sup> + <sup>A</sup>Na + <sup>Y</sup>F<sup>-</sup>. Presnejšiu klasifikáciu minerálov skupiny mikrolitu, najmä členov s dominantným deficitom A-katiónov, však možno aplikovať len v prípade exaktného stanovenia množstva molekulovej vody a (OH)<sup>-</sup> v pozíciah A a Y, prípadne aj X.

## Diskusia a záver

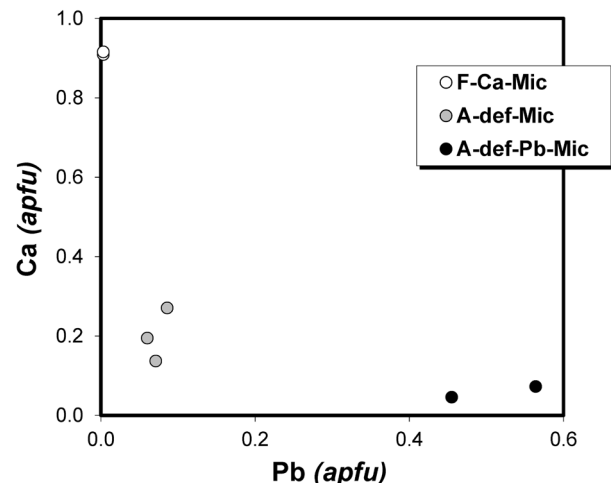
Študovaná lokalita pegmatitu pri Lieštanoch predstavuje prvý známy výskyt Nb-Ta mineralizácie v regióne Strážovských vrchov, čo dopĺňa naše poznatky o plošnom rozšírení variských granitových pegmatitov so vzácnonprvkovou mineralizáciou v kryštaliku Západných Karpát. Ukazuje sa, že vyššie frakcionované granitové pegmatity s akcesorickým berylom a oxidickými minerálmi Nb-Ta (najmä skupina columbitu a mik-

rolitu) boli doteraz opísané v rámci masívov materských variských orogenných granitov S- a I-typu (~360 - 340 Ma) v rôznych regiónoch tektonickej jednotky tatrika: pohoria Malé Karpaty, Považský Inovec, Žiar, Nízke Tatry a Vysoké Tatry (Uher 2019). Columbit-(Fe) z opisanej lokality pri Lieščanoch interpretujeme ako primárne magmatický minerál, hoci jeho pôvodná vnútorná zonalita bola pravdepodobne zmazaná neskoršími postmagmatickými procesmi, pričom pozorujeme zrejme sekundárnu, nevýrazne difúznu zonalitu.

Chemické zloženie columbit-(Fe) je podobné ako na lokalite pegmatitu Ráztočno v pohorí Žiar (Uher 2008), respektíve niektorých pegmatitoch v oblasti Bratislavы (Uher et al. 1994). Jednoznačne mladšie minerály, veľmi pravdepodobne rano postmagmatického až hydrotermálneho pôvodu, sú sekundárny columbit-(Fe) obohatený Ta až tantalit-(Fe), a najmä minerály skupiny mikrolitu, jasne zatláčajúce primárne magmatický columbit-(Fe). Na základe súčasnej platnej klasifikácie a nomenklatúry minerálov superskupiny pyrochlóru (Atencio et al. 2010) možno identifikované fázy, určené len na základe ich neúplného chemického zloženia (elektrónová mikroanalýza), klasifikovať ako fluórkalciomikrolit, mikrolit s deficitom A-katiónov a Pb-obohatený mikrolit s deficitom A-katiónov. Veľmi malé rozmery, vzácnosť a chemická heterogenita minerálov skupiny mikrolitu z pegmatitu pri Lieščanoch preto umožnili posledné dve mikrolitové fázy definovať neurčito len ako mikrolity s deficitom A-katiónov, respektíve s dominanciou nulovo valentnej zložky, teda molekulovej vody a/alebo vakancie v pozícii A (doslova „zero-valent-dominant microlite“ v zmysle nomenklatúry Atencio et al. 2010). Popri zvýšenom obsahu U sú zaujímavé najmä vysoké obsahy Pb v mikrolite, lokálne dosahujúce takmer 20 hm. % PbO ( $\leq 0.56$  Pb apfu). Takéto silne zvýšené koncentrácie Pb (lokálne spolu so zvýšenými obsahmi U a Sb) boli zistené aj v mineráloch skupiny mikrolitu z pegmatitu v Sopotnickej doline pri Brusne v Nízkych Tatrách (10 - 19 hm. % PbO, 0.2 - 0.4 Pb apfu), pričom sa predpokladá ich vznik pôsobením externých hydrotermálnych fluidov a genetická spojitosť s nedalekými žilnými sulfidickými Pb-Sb mineralizáciami (Uher et al. 1998b; Chudík, Uher 2009). V prípade pegmatitu pri Lieščanoch možno takisto predpokladať neskorší hydrotermálny vznik minerálov skupiny mikrolitu, avšak ich genetická spojitosť s nedalekými výskytmami žilnej hydrotermálnej polymetalickej mineralizácie v kryštaliniku Strážovských vrchov s prítomnosťou galenitu a ďalších sulfidov (Valaská Belá, Čavoj, Gápel, Chvojnica) nie je na základe známych faktov preukázaná, hoci nie je vylúčená. V každom prípade predstavuje mikrolit s vysokým obsahom Pb pomerne vzácný minerál, blížiaci sa svojim zložením ku kenoplumbomikrolitu [ideálne  $(\text{Pb}\square)\text{Ta}_2\text{O}_6[\square, (\text{OH}), \text{O}]$ ], raritnému členu skupiny mikrolitu s dominantným zastúpením Pb v pozícii A, opísanému z granitového pegmatitu Ploskaja gora na polostrove Kola v Rusku (Atencio et al. 2018).

### Podakovanie

Výskum bol finančne podporený projektom VEGA 1/0467/20 a Ministerstvom kultury ČR v rámci inštitucionálneho financovania dlhodobého koncepčného rozvoja výskumnnej organizácie Národní muzeum (DKRVO 2019-2023/1.II.b, 00023272). Autori ďakujú recenzentom M. Novákovi a Š. Ferencovi za konštruktívne pripomienky, ktoré prispeli k vylepšeniu rukopisu.



Obr. 4 Ca versus Pb diagram minerálov skupiny mikrolitu z pegmatitu pri Lieščanoch.

### Literatúra

- ATENCIO D, ANDRADE MB, CHRISTY AG, GIERÉ R, KARTASHOV PM (2010) The pyrochlore supergroup of minerals: nomenclature. Can Mineral 48: 673-698
- ATENCIO D, ANDRADE MB, BINDI L, BONAZZI P, ZOPPI M, STANLEY CJ, KRISTIANSEN R (2018) Kenoplumbomicrolite,  $(\text{Pb}, \square)_2\text{Ta}_2\text{O}_6[\square, (\text{OH}), \text{O}]$ , a new mineral from Ploskaya, Kola Peninsula, Russia. Mineral Mag 82: 1049-1055
- BENCE AE, ALBEE AL (1968) Empirical correction factors for the electron microanalysis of silicates and oxides. J Geol 76: 382-403
- ČERNÝ P, ERCIT TS (2005) The classification of granitic pegmatites revisited. Can Mineral 43: 2005-2026
- ČERNÝ P, GOAD BE, HAWTHORNE FC, CHAPMAN R (1986) Fractionation trends of the Nb- and Ta-bearing oxide minerals in the Greer Lake pegmatite granite and its pegmatite aureole, southeastern Manitoba. Am Mineral 71: 501-517
- ČERNÝ P, NOVÁK M, CHAPMAN R (1992) Effects of sillimanite-grade metamorphism and shearing on Nb-Ta oxide minerals in granitic pegmatites: Maršíkov, Northern Moravia, Czechoslovakia. Can Mineral 30: 699-718
- DÁVIDOVÁ Š (1978) Mineralógia a petrografia pegmatitov kryštalinika tatárid. Miner Slov 10: 127-146
- GALLISKI MÁ, MÁRQUEZ-ZAVALÍA MF, ČERNÝ P, LIRA R (2016) Complex Nb-Ta-Ti-Sn oxide mineral intergrowths in the La Calandria pegmatite, Cañada del Puerto, Córdoba, Argentina. Can Mineral 54: 899-916
- HOVORKA D, FEJDI P (1983) Garnets of peraluminous granites of the Suchý and the Malá Magura Mts. (the Western Carpathians) - their origin and petrological significance. Geol Zbor Geol Carpath 34: 103-115
- CHUDÍK P, UHER P (2009) Minerály skupiny pyrochlóru z granitových pegmatitov Západných Karpát: variácie chemického zloženia a substitučné mechanizmy. Miner Slov 41: 159-168
- CHUDÍK P, UHER P, GADAS P, ŠKODA R, PRŠEK J (2011) Niobium-tantalum oxide minerals in the Jezuitské Lesy granitic pegmatite, Bratislava Massif, Slovakia: Ta to Nb and Fe to Mn evolutionary trends in a narrow Be, Cs-rich and Li, B-poor dike. Mineral Petrol 102: 15-27

- KRÁĽ J, HESS JC, KOBER B, LIPPOLT HJ (1997) 207Pb/206Pb and 40Ar/39Ar age data from plutonic rocks of the Strážovské vrchy Mts. basement, Western Carpathians. In Grecula P, Hovorka D, Putiš M (eds.) Geological evolution of the Western Carpathians 253-260. Miner Slov Monograph Bratislava
- MAHEĽ M (1985) Geologická stavba Strážovských vrchov. 1-221, Geol Ústav D Štúra, Bratislava
- MAHEĽ M (1981) Geologická mapa Strážovských vrchov. Regionálne geologické mapy Slovenska 1:50 000. Geol Ústav D Štúra, Bratislava
- MELCHER F, GRAUPNER T, GÄBLER HE, SITNIKOVA M, HENJES-KUNST F, OBERHÜR T, GERDES A, DEWAELE S (2015) Tantalum-(niobium-tin) mineralisation in African pegmatites and rare metal granites: Constraints from Ta-Nb oxide mineralogy, geochemistry and U-Pb geochronology. *Ore Geol Rev* 64: 667-719
- NOVÁK M, UHER P, ČERNÝ P, SIMAN P (2000) Compositional variations in ferrotapiolite + tantalite pairs from the beryl-columbite pegmatite at Moravany nad Váhom, Slovakia. *Mineral Petrol* 69: 295-306
- NOVÁK M, ČERNÝ P, UHER P (2003) Extreme variation and apparent reversal of Nb-Ta fractionation in columbite-group minerals from the Scheibengraben beryl-columbite granitic pegmatite, Maršíkov, Czech Republic. *Eur J Mineral* 15: 565-574
- PETRÍK I, KOHÚT M (1997) The evolution of granitoid magmatism during the Hercynian orogen in the Western Carpathians. In Grecula P, Hovorka D, Putiš M (eds.) Geological evolution of the Western Carpathians 235-252. Miner Slov Monograph Bratislava
- RAO C, WANG RC, Hu H, ZHANG WL (2009) Complex internal textures in oxide minerals from the Nanping No. 31 dyke of granitic pegmatite, Fujian province, southeastern China. *Can Mineral* 47: 1195-1212
- ŠKODA R, NOVÁK M (2007) Y,REE,Nb,Ta,Ti-oxide (AB<sub>2</sub>O<sub>6</sub>) minerals from REE-euxenite-subtype pegmatites of the Třebíč Pluton, Czech Republic; substitutions and fractionation trends. *Lithos* 95: 43-57
- UHER P (2000) Stibiotantalit v pegmatite Sb ložiska Dúbrava - produkt hydrotermálnej alterácie kolumbitu-tantalitu. *Miner Slov* 32: 109-114
- UHER P (2008) Columbit-tantalit z pegmatitu pri Ráztočne v pohorí Žiar (stredné Slovensko). *Bull Mineral-Petrolog Odd Nár Muz* 16(1): 109-112
- UHER P (2019) Granitové pegmatity Západných Karpát: súčasný stav poznatkov. *Acta Mus Moraviae, Sci Geol* 104(2): 139-167
- UHER P, BROSKA I (1995) Pegmatites in two suites of Variscan orogenetic rocks (Western Carpathians, Slovakia). *Mineral Petrol* 55: 27-36
- UHER P, ČERNÝ P, NOVÁK M, SIMAN P (1994) Niobium-tantalum minerals from granitic pegmatites in the Malé Karpaty, Považský Inovec and Žiar Mountains, Western Carpathians, Slovakia. *Miner Slov* 26: 157-164
- UHER P, ČERNÝ P, CHAPMAN R, HATÁR J, MIKO O (1998a) Evolution of Nb-Ta minerals in the Prašivá granitic pegmatites, Slovakia. I. Primary Fe,Ti-rich assemblage. *Can Mineral* 36: 525-534
- UHER P, ČERNÝ P, CHAPMAN R, HATÁR J, MIKO O (1998b) Evolution of Nb-Ta minerals in the Prašivá granitic pegmatites, Slovakia. II. External hydrothermal Pb, Sb overprint. *Can Mineral* 36: 535-545
- UHER P, ŽITNÁN P, OZDÍN D (2007) Pegmatitic Nb-Ta oxide minerals in alluvial placers from Limbach, Bratislava Massif, Western Carpathians, Slovakia: compositional variations and evolutionary trend. *J Geosci* 52: 133-141
- VAN LICHTERVELDE M, SALVI S, BEZIAT D, LINNEN R (2007) Textural features and chemical evolution in tantalum oxides: magmatic versus hydrothermal origins for Ta mineralization in Tanco Lower pegmatite, Manitoba, Canada. *Econ Geol* 102: 257-276
- VILINOVICOVÁ L' (1990) Petrogenesis of gneisses and granitoids from the Strážovské vrchy Mts. *Geol Zbor Geol Carpath* 41: 335-376